

III-157 傾斜地盤中のトンネル掘削に伴う地表沈下の弾性理論解析
—地下資源のトンネル掘削に伴う地表沈下(その5)—

鳥取大学 正員 ○木山英郎
藤村 尚
東洋建設 森木悟

1. はじめに

傾斜地盤中のトンネル周辺の応力解析は伊藤(1951)によってなされているが、応力関数を二重級数で展開しているため、これを利用して変位関数を求めることは容易でない。そこで、前報(その3: 56年度年次大会)の水平地盤に対して用いたMindlin形式の応力関数を、改めて傾斜地盤について説明し、それから変位関数を求める方法を探った。

2. 地盤内初期応力状態の仮定

図-1 に示す傾斜角 β の地盤のトンネル掘削前の初期応力状態

として、地盤の単位体積重量 w による自由土圧に x 方向変位拘束条件を加えた式の状態を仮定する。

$$(1) \begin{cases} \sigma_x = -wy \cos \beta + G_0 w y, & G_0 = \left(\frac{1-2\nu}{1-\nu} \cos \beta - \sin \beta \tan \beta\right); \\ \sigma_y = -wy \cos \beta; & \tau_{xy} = -wy \sin \beta \end{cases}$$

これは剪断力 τ と応力関数 χ を用いて次式のように表わされる。

$$(2) \begin{cases} \sigma_x = \frac{\partial^2 \chi}{\partial y^2} + \Omega, & \Omega = -wy \cos \beta, \quad \chi_0 = \chi_1 + \chi_2, \\ \sigma_y = \frac{\partial^2 \chi}{\partial x^2} + \Omega, & \chi_1 = G_0 w y^3 / 6, \quad \chi_2 \text{ は } -\frac{\partial^2 \chi_2}{\partial x \partial y} = -wy \\ \tau_{xy} = -\frac{\partial^2 \chi}{\partial x \partial y}. & \times \sin \beta \text{ と } \frac{\partial^2 \chi_2}{\partial y^2} = \frac{\partial^2 \chi_2}{\partial x^2} = 0 \text{ を満たす。} \end{cases}$$

この中、 Ω と χ_1 は水平地盤で既に解析しており、 χ_2 のみが問題となる。

3. 双極座標 (α, β) の応力関数 χ と変位関数 Q

図-1 に示すように半径 r_0 、軸深さ $y=h_0$ のトンネルを掘削したとき、トンネル壁面を $\alpha=d_1$ 、地表面を $\alpha=0$ とする双極座標 (α, β) を用いて、境界条件は次式で表わされる。

$$(3) \{ (\sigma_\alpha)_{d=0} = (\tau_{\alpha\beta})_{d=0} = 0, (\sigma_\alpha)_{d=d_1} = (\tau_{\alpha\beta})_{d=d_1} = 0.$$

初期応力式(2)が作るトンネル壁面応力 $(\sigma_\alpha)_{d=d_1}$ 、 $(\tau_{\alpha\beta})_{d=d_1}$ を消去するための第一近似の応力関数 χ_3 として、トンネル中心に負量欠損に見合った集中力 $w\pi r_0^2$ が作用させる。これに極 $(y=a)$ における x 方向と y 方向集中力およびモーメントに分解すれば、簡単に $\alpha>0$ 領域で変位の一値性を保証する応力関数(4)を得る。

$$(4) \begin{cases} \chi_3 / J = K_0 \left\{ \begin{aligned} & @ \sin \beta - \frac{1-2\nu}{2(1-\nu)} [\alpha \sinh \alpha - \alpha (\cosh \alpha - \cos \beta)] \cos \beta - \{ @ \sinh \alpha - @ \coth \alpha, (\cosh \alpha - \cos \beta) \\ & + \frac{1-2\nu}{2(1-\nu)} \alpha \sinh \beta \} \sin \beta \end{aligned} \right\}; K_0 = -w r_0^2 / 2. \end{cases}$$

これに補助応力関数 χ_4 を加えて $(\chi_3 + \chi_4)$ が $d=0$ の境界条件を満足するよう調整しておく。

$$(5) \{ \chi_4 / J = K_0 \left\{ \frac{1}{4(1-\nu)} (\cosh 2\alpha - \sinh 2\alpha - 1) \cos \beta \right\} \cos \beta + \frac{1}{2} \left\{ (\coth \alpha_1 - \frac{1-2\nu}{2(1-\nu)} (\cosh 2\alpha - \sinh 2\alpha)) \sin \beta \right\} \sin \beta \}$$

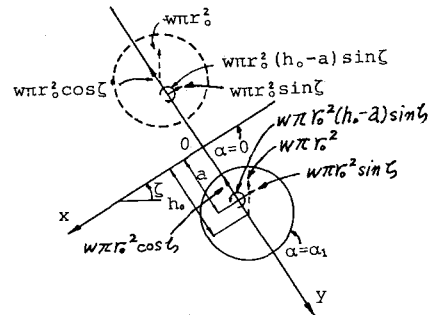


図-1

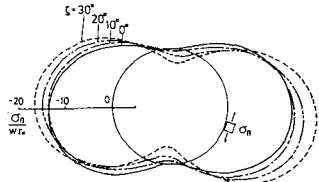
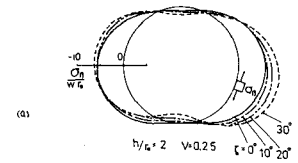


図-2 壁面応力 σ_β

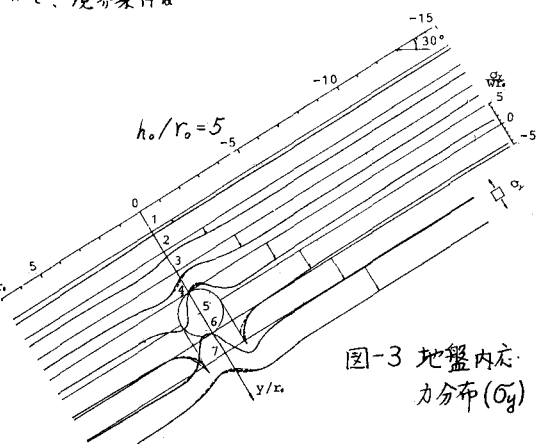


図-3 地盤内応力分布 (σ_y)

最後に、応力函数の一般解の中

から $\alpha = 0$ の境界条件を満足する
函数 X_5 を選び、 $(X_3 + X_4 + X_5)$ が
式(2)の Ω , X_1 , X_2 の作る壁面初
期応力 (σ_{α}) $\alpha = a_1$, $(\tau_{\alpha\beta}) \alpha = a_1$ は完全
に消去する (これにより式(3)の
境界条件がすべて満されると) より、
 X_5 の任意定数を決定する。

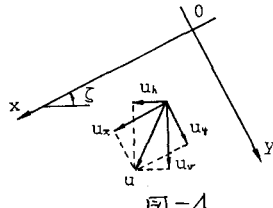


図-4

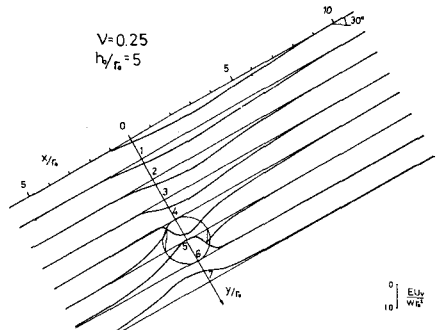


図-5 鉛直変位 (u_v)

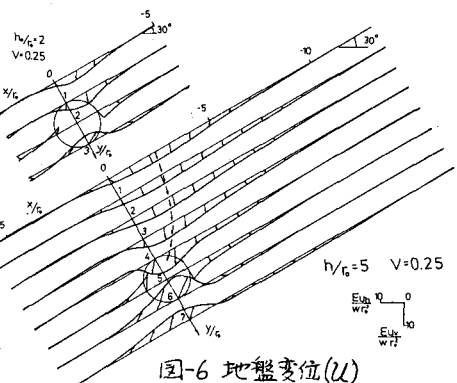


図-6 地盤変位 (u)

$$(6) \quad \begin{aligned} X/J &= (X_1 + X_2 + X_3 + X_4 + X_5)/J \\ &= K_0 \cos \alpha [\theta \sinh \beta + K_1 \alpha \sinh \alpha + K_2 \alpha (\cosh \alpha - \cos \beta) \\ &\quad + K_3 (\cosh 2\alpha - 1) \cos \beta + K_4 \sinh 2\alpha \cos \beta + \sum_{m=2}^{\infty} \{ L_m [\cosh(m+1)\alpha \\ &\quad - \cosh(m-1)\alpha] + M_m [(m-1) \sinh(m+1)\alpha - (m+1) \sinh(m-1)\alpha] \} \cos m\beta] \\ &\quad + J_0 \sin \alpha [\theta \sinh \alpha + J_1 (\cosh \alpha - \cos \beta) + J_2 \alpha \sinh \beta \\ &\quad + J_3 \sinh 2\alpha \sin \beta + J_4 \cosh 2\alpha \sin \beta + \sum_{m=2}^{\infty} \{ S_m [\cosh(m+1)\alpha \\ &\quad - \cosh(m-1)\alpha] + T_m [(m-1) \sinh(m+1)\alpha - (m+1) \sinh(m-1)\alpha] \} \sin m\beta] \\ &\quad + G'_0 [\sinh^3 \alpha / (\cosh \alpha - \cos \beta)^2 + K'_2 \alpha (\cosh \alpha - \cos \beta) \\ &\quad + K'_3 (\cosh 2\alpha - 1) \cos \beta + K'_4 \sinh 2\alpha \cos \beta + \sum_{m=2}^{\infty} \{ L'_m [\cosh(m+1)\alpha \\ &\quad - \cosh(m-1)\alpha] + M'_m [(m-1) \sinh(m+1)\alpha - (m+1) \sinh(m-1)\alpha] \} \cos m\beta] \end{aligned}$$

対応する変位函数 Q は次式となる (適合条件を考慮したのとて
剛体変位の特別を付加はなされていない)。

$$(7) \quad \begin{aligned} Q/J &= 2K_0 \cos \alpha [\sinh \alpha \ln(\cosh \alpha - \cos \beta) + K_1 \beta \sinh \alpha \\ &\quad + K_2 \beta (\cosh \alpha - \cos \beta) + K_3 \sinh 2\alpha \sin \beta + K_4 \cosh 2\alpha \sin \beta \\ &\quad + \sum_{m=2}^{\infty} \{ L_m [\sinh(m+1)\alpha - \sinh(m-1)\alpha] \\ &\quad + M_m [(m-1) \cosh(m+1)\alpha - (m+1) \cosh(m-1)\alpha] \} \sin m\beta] \\ &\quad + 2J_0 \sin \alpha [\sinh \alpha \ln(\cosh \alpha - \cos \beta) \\ &\quad + J_1 (\cosh \alpha - \cos \beta) \{ \ln(\cosh \alpha - \cos \beta) - 1 \} \\ &\quad + J_2 \beta \sinh \beta - J_3 \cosh 2\alpha \cos \beta - J_4 \sinh 2\alpha \cos \beta \\ &\quad - \sum_{m=2}^{\infty} \{ S_m [\sinh(m+1)\alpha - \sinh(m-1)\alpha] \\ &\quad + T_m [(m-1) \cosh(m+1)\alpha - (m+1) \cosh(m-1)\alpha] \} \cos m\beta] \\ &\quad + 2G'_0 [(-\sum_{m=2}^{\infty} \{ (m-1) \sinh(m+1)\alpha - (m+1) \sinh(m-1)\alpha \} \} \sin m\beta \\ &\quad + K'_2 \beta (\cosh \alpha - \cos \beta) + K'_3 \sinh 2\alpha \sin \beta + K'_4 \cosh 2\alpha \sin \beta \\ &\quad + \sum_{m=2}^{\infty} \{ L'_m [\sinh(m+1)\alpha - \sinh(m-1)\alpha] + M'_m [(m-1) \cosh(m+1)\alpha - (m+1) \cosh(m-1)\alpha] \} \sin m\beta] \end{aligned}$$

ここで、係数 $K_0, K_1, K_2, K_3, K_4, L_m, M_m; K'_2, K'_3, K'_4, L'_m, M'_m$ は水平地盤の場合と同じであり、 $J_0, J_1, J_2, J_3, J_4, S_m, T_m; G'_0$ は新たに加わっていふ。

4. 計算結果

応力解の例として、トンネル壁面応力を図-2、トンネルによる地盤内応力
の擾乱範囲を示す例を図-3 に示す。変位解の例として、図-4 に示す鉛直変位
成分 u_v 、変位ベクトル u を用ひ、図-5 は地盤内の鉛直変位 u_v の一例を、
図-6 は対応する変位ベクトル u を表わした地盤変位を示す。さらに、 u を用
ひて描いた地表沈下曲線を図-7 に、対応するトンネル壁面の変位 u を図-8
に示す。

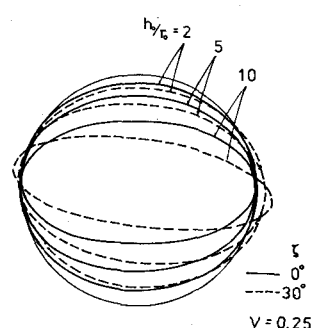


図-8 壁面変位 (u)